

Starkniederschlagshöhen und -spenden gemäß KOSTRA-DWD-2020

Rasterfeld 114195

(Zeile 114, Spalte 195)

Regenspende und Bemessungsniederschlagswerte in Abhängigkeit von Wiederkehrzeit T und Dauerstufe D

| Dauerstufe D | | Wiederkehrzeit T | | | | | | | | | | | | | | | | | |
|--------------|-----|------------------|------------|------|------------|------|------------|------|------------|------|------------|-------|------------|-------|------------|-------|------------|-------|------------|
| | | 1 a | | 2 a | | 3 a | | 5 a | | 10 a | | 20 a | | 30 a | | 50 a | | 100 a | |
| min | Std | mm | l / (s ha) | mm | l / (s ha) | mm | l / (s ha) | mm | l / (s ha) | mm | l / (s ha) | mm | l / (s ha) | mm | l / (s ha) | mm | l / (s ha) | mm | l / (s ha) |
| 5 | | 7,0 | 233,3 | 8,9 | 296,7 | 10,1 | 336,7 | 11,6 | 386,7 | 13,9 | 463,3 | 16,2 | 540,0 | 17,7 | 590,0 | 19,6 | 653,3 | 22,5 | 750,0 |
| 10 | | 9,2 | 153,3 | 11,7 | 195,0 | 13,2 | 220,0 | 15,3 | 255,0 | 18,2 | 303,3 | 21,2 | 353,3 | 23,2 | 386,7 | 25,7 | 428,3 | 29,4 | 490,0 |
| 15 | | 10,5 | 116,7 | 13,3 | 147,8 | 15,1 | 167,8 | 17,4 | 193,3 | 20,8 | 231,1 | 24,2 | 268,9 | 26,4 | 293,3 | 29,4 | 326,7 | 33,6 | 373,3 |
| 20 | | 11,4 | 95,0 | 14,5 | 120,8 | 16,5 | 137,5 | 19,0 | 158,3 | 22,6 | 188,3 | 26,4 | 220,0 | 28,8 | 240,0 | 32,0 | 266,7 | 36,6 | 305,0 |
| 30 | | 12,8 | 71,1 | 16,3 | 90,6 | 18,4 | 102,2 | 21,2 | 117,8 | 25,3 | 140,6 | 29,5 | 163,9 | 32,2 | 178,9 | 35,8 | 198,9 | 41,0 | 227,8 |
| 45 | | 14,2 | 52,6 | 18,0 | 66,7 | 20,4 | 75,6 | 23,6 | 87,4 | 28,1 | 104,1 | 32,7 | 121,1 | 35,8 | 132,6 | 39,8 | 147,4 | 45,5 | 168,5 |
| 60 | 1 | 15,2 | 42,2 | 19,4 | 53,9 | 21,9 | 60,8 | 25,3 | 70,3 | 30,1 | 83,6 | 35,1 | 97,5 | 38,4 | 106,7 | 42,7 | 118,6 | 48,8 | 135,6 |
| 90 | 1,5 | 16,8 | 31,1 | 21,3 | 39,4 | 24,1 | 44,6 | 27,8 | 51,5 | 33,2 | 61,5 | 38,7 | 71,7 | 42,3 | 78,3 | 47,0 | 87,0 | 53,8 | 99,6 |
| 120 | 2 | 17,9 | 24,9 | 22,8 | 31,7 | 25,8 | 35,8 | 29,8 | 41,4 | 35,5 | 49,3 | 41,3 | 57,4 | 45,2 | 62,8 | 50,2 | 69,7 | 57,5 | 79,9 |
| 180 | 3 | 19,7 | 18,2 | 25,0 | 23,1 | 28,3 | 26,2 | 32,6 | 30,2 | 38,9 | 36,0 | 45,3 | 41,9 | 49,6 | 45,9 | 55,1 | 51,0 | 63,0 | 58,3 |
| 240 | 4 | 21,0 | 14,6 | 26,7 | 18,5 | 30,2 | 21,0 | 34,8 | 24,2 | 41,5 | 28,8 | 48,4 | 33,6 | 52,9 | 36,7 | 58,8 | 40,8 | 67,2 | 46,7 |
| 360 | 6 | 22,9 | 10,6 | 29,2 | 13,5 | 33,0 | 15,3 | 38,1 | 17,6 | 45,4 | 21,0 | 52,9 | 24,5 | 57,8 | 26,8 | 64,3 | 29,8 | 73,5 | 34,0 |
| 540 | 9 | 25,1 | 7,7 | 31,9 | 9,8 | 36,1 | 11,1 | 41,6 | 12,8 | 49,6 | 15,3 | 57,8 | 17,8 | 63,2 | 19,5 | 70,3 | 21,7 | 80,4 | 24,8 |
| 720 | 12 | 26,7 | 6,2 | 34,0 | 7,9 | 38,5 | 8,9 | 44,4 | 10,3 | 52,9 | 12,2 | 61,6 | 14,3 | 67,4 | 15,6 | 74,9 | 17,3 | 85,6 | 19,8 |
| 1080 | 18 | 29,2 | 4,5 | 37,1 | 5,7 | 42,0 | 6,5 | 48,5 | 7,5 | 57,7 | 8,9 | 67,3 | 10,4 | 73,6 | 11,4 | 81,8 | 12,6 | 93,6 | 14,4 |
| 1440 | 24 | 31,1 | 3,6 | 39,5 | 4,6 | 44,7 | 5,2 | 51,6 | 6,0 | 61,5 | 7,1 | 71,7 | 8,3 | 78,4 | 9,1 | 87,1 | 10,1 | 99,6 | 11,5 |
| 2880 | 48 | 36,1 | 2,1 | 45,9 | 2,7 | 52,0 | 3,0 | 60,0 | 3,5 | 71,5 | 4,1 | 83,3 | 4,8 | 91,1 | 5,3 | 101,3 | 5,9 | 115,8 | 6,7 |
| 4320 | 72 | 39,5 | 1,5 | 50,2 | 1,9 | 56,8 | 2,2 | 65,5 | 2,5 | 78,1 | 3,0 | 91,0 | 3,5 | 99,5 | 3,8 | 110,6 | 4,3 | 126,5 | 4,9 |
| 5760 | 96 | 42,0 | 1,2 | 53,4 | 1,5 | 60,5 | 1,8 | 69,7 | 2,0 | 83,1 | 2,4 | 96,9 | 2,8 | 105,9 | 3,1 | 117,7 | 3,4 | 134,7 | 3,9 |
| 7200 | 120 | 44,1 | 1,0 | 56,0 | 1,3 | 63,5 | 1,5 | 73,2 | 1,7 | 87,2 | 2,0 | 101,7 | 2,4 | 111,1 | 2,6 | 123,6 | 2,9 | 141,3 | 3,3 |
| 8640 | 144 | 45,9 | 0,9 | 58,3 | 1,1 | 66,0 | 1,3 | 76,1 | 1,5 | 90,7 | 1,7 | 105,8 | 2,0 | 115,6 | 2,2 | 128,5 | 2,5 | 147,0 | 2,8 |
| 10080 | 168 | 47,4 | 0,8 | 60,3 | 1,0 | 68,3 | 1,1 | 78,7 | 1,3 | 93,8 | 1,6 | 109,4 | 1,8 | 119,6 | 2,0 | 132,9 | 2,2 | 152,0 | 2,5 |

Starkniederschlagshöhen und -spenden gemäß KOSTRA-DWD-2020

Rasterfeld 114195

(Zeile 114, Spalte 195)

Örtliche Unsicherheiten in Abhängigkeit von Wiederkehrzeit T und Dauerstufe D

| Dauerstufe D | | Wiederkehrzeit T | | | | | | | | |
|--------------|-----|------------------|-----|-----|-----|------|------|------|------|-------|
| | | 1 a | 2 a | 3 a | 5 a | 10 a | 20 a | 30 a | 50 a | 100 a |
| min | Std | ± % | ± % | ± % | ± % | ± % | ± % | ± % | ± % | ± % |
| 5 | | 12 | 11 | 12 | 12 | 13 | 13 | 14 | 14 | 14 |
| 10 | | 12 | 14 | 15 | 16 | 17 | 18 | 19 | 19 | 20 |
| 15 | | 14 | 16 | 17 | 19 | 20 | 21 | 22 | 22 | 23 |
| 20 | | 15 | 18 | 19 | 20 | 21 | 23 | 23 | 24 | 24 |
| 30 | | 16 | 19 | 20 | 22 | 23 | 24 | 25 | 25 | 26 |
| 45 | | 17 | 20 | 21 | 23 | 24 | 25 | 26 | 26 | 27 |
| 60 | 1 | 17 | 20 | 21 | 23 | 24 | 25 | 26 | 26 | 27 |
| 90 | 1,5 | 17 | 20 | 21 | 22 | 24 | 25 | 26 | 26 | 27 |
| 120 | 2 | 17 | 19 | 21 | 22 | 24 | 25 | 25 | 26 | 26 |
| 180 | 3 | 16 | 19 | 20 | 21 | 23 | 24 | 24 | 25 | 26 |
| 240 | 4 | 15 | 18 | 19 | 21 | 22 | 23 | 24 | 24 | 25 |
| 360 | 6 | 15 | 17 | 19 | 20 | 21 | 22 | 23 | 23 | 24 |
| 540 | 9 | 14 | 17 | 18 | 19 | 20 | 21 | 22 | 22 | 23 |
| 720 | 12 | 14 | 16 | 17 | 18 | 20 | 21 | 21 | 22 | 22 |
| 1080 | 18 | 13 | 15 | 16 | 17 | 19 | 20 | 20 | 21 | 21 |
| 1440 | 24 | 13 | 15 | 16 | 17 | 18 | 19 | 20 | 20 | 21 |
| 2880 | 48 | 14 | 15 | 16 | 16 | 17 | 18 | 19 | 19 | 20 |
| 4320 | 72 | 14 | 15 | 16 | 16 | 17 | 18 | 18 | 19 | 19 |
| 5760 | 96 | 15 | 16 | 16 | 17 | 17 | 18 | 18 | 19 | 19 |
| 7200 | 120 | 16 | 16 | 16 | 17 | 18 | 18 | 18 | 19 | 19 |
| 8640 | 144 | 16 | 16 | 17 | 17 | 18 | 18 | 19 | 19 | 19 |
| 10080 | 168 | 17 | 17 | 17 | 17 | 18 | 18 | 19 | 19 | 19 |

Parameter für abweichende T und D

Lokationsparameter ξ (Xi)

15,63627801

Skalenparameter α (Alpha)

5,8997981

Formparameter κ (Kappa)

-0,1

1. Koutsoyiannis-Parameter θ (Theta)

0,03339126

2. Koutsoyiannis-Parameter η (Eta)

0,78331159

Parameter für dauerstufenübergreifende Extremwertschätzung nach KOUTSOYIANNIS et al. 1998.

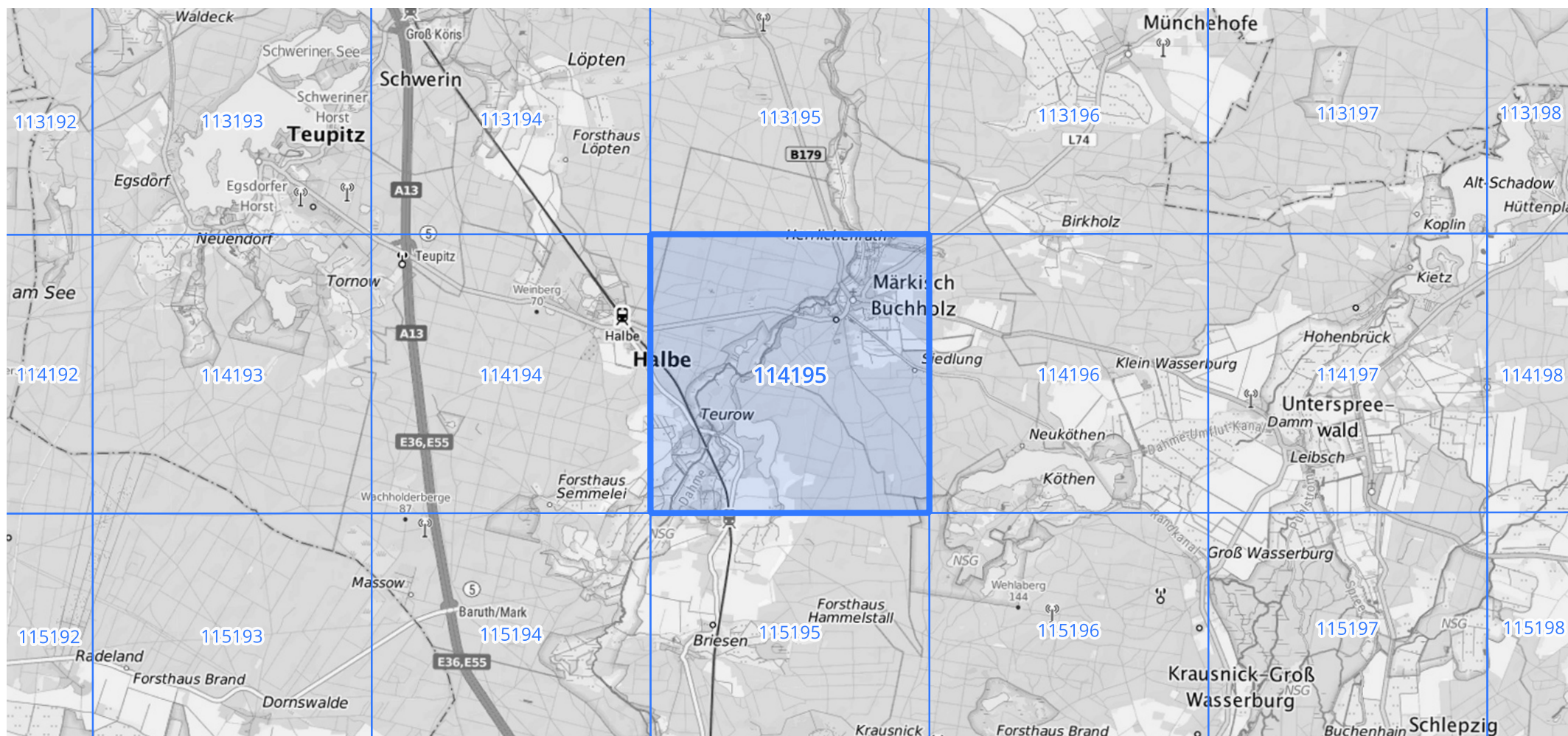
Siehe auch Anwendungshilfe zu KOSTRA-DWD-2020 des Deutschen Wetterdienstes.

Starkniederschlagshöhen und -spenden gemäß KOSTRA-DWD-2020

Rasterfeld 114195

(Zeile 114, Spalte 195)

Übersichtskarte des Rasterfeldes 114195, M 1 : 100 000



Quelle Rasterdaten: KOSTRA-DWD-2020 des Deutschen Wetterdienstes, Stand 12/2022.

Seite 3 von 3

Kartendarstellung: © Bundesamt für Kartographie und Geodäsie (2023), Datenquellen: https://sgx.geodatenzentrum.de/web_public/gdz/datenquellen/Datenquellen_TopPlusOpen.html

Für die Richtigkeit und Aktualität der Angaben wird keine Gewähr übernommen. Erstellt 01/2023.